

СОВРЕМЕННЫЕ МЕТОДЫ ФУРЬЕ- И ВЕЙВ- ЛЕТ-АНАЛИЗА И СИНТЕЗА СИГНАЛОВ

MODERN METHODS OF THE FOURIER- AND WAVELET-ANALYSIS AND SYNTHESIS OF SIGNALS

Дьяконов В.П. (V. Dyakonov), д.т.н., профессор СмолГУ

В настоящее время компьютерная математика [1] нашла реальное применение в ряде измерительных приборов и систем и, прежде всего, в цифровых осциллографах и анализаторах спектра [2-4]. В этой статье описаны современные методы Фурье- и вейвлет анализа сигналов [5, 6], исследуемых с помощью этих приборов и высказаны соображения о путях их развития.

Современные системы компьютерной математики (СКМ), цифровые осциллографы и анализаторы спектра представляют сигнал в виде ряда дискретных отсчетов $y_0, y_1, \dots, y_{N-2}, y_{N-1}$, обычно размещаемых через постоянные промежутки времени. Последовательность отсчетов или кадр фиксирована по длине и характеризуется числом отсчетов N . Таким образом, сигнал представляется в виде периодической последовательности $y_{k+N} = y_k$. При этом сигнал можно трактовать как последовательность масштабированных и смещенных во времени дельта-функций

$$s(t) = \sum_{k=-\infty}^{\infty} y_k \delta(t - k), \quad (1)$$

которая может быть продолжена как вперед, так и назад.

Однако исторически сложилось так, что для представления периодических (и не только) сигналов чаще всего использовался тригонометрический ряд Фурье. Теоретически для кадра отсчетов сигнала он определяется выражением в экспоненциальной форме:

$$\dot{Y}_n = \frac{1}{NT} \sum_{k=0}^{N-1} s_k \exp\left(-j \frac{2\pi nk}{N}\right). \quad (2)$$

Здесь j — мнимая единица, n — номер гармоники, k — индекс отсчетов сигнала (от 0 до $N-1$). Обычно выражение (2) нормируется путем задания периода $T=1$:

$$\dot{Y}_n = \frac{1}{N} \sum_{k=0}^{N-1} s_k \exp\left(-j \frac{2\pi nk}{N}\right). \quad (3)$$

Используя последнее выражение можно вычислить отсчеты амплитудно-частотной (АЧХ) и фазо-частотной (ФЧХ) характеристик дискретного сигнала конечной длины, т. е. его спектр. Это широко используется в современных цифровых анализаторах спектров и в осциллографах. При этом для ускорения спектрального анализа используется хорошо известное быстрое преобразование Фурье — БПФ.

При сигналах любого вида $f(t)$ в общем случае реализуется прямое преобразование Фурье

$$F(\omega) = \int_{-\infty}^{\infty} f(t) e^{-i\omega t} dt. \quad (4)$$

Здесь $f(t)$ — скалярная функция независимой переменной t . Спектр при этом становится сплошным.

Для $f(t)$ в виде синусоидальной или косинусоидальной функции (4) может быть найдено в замкнутой форме через функцию Дирака. Для синусоидального сигнала это $-Ai\delta(\omega - \omega_0)$, а для косинусоидального $Ai\delta(\omega - \omega_0)$. Здесь $\delta(\omega - \omega_0)$ — функция Дирака, равная 1 при $\omega = \omega_0$ (или $\omega = -\omega_0$) и 0 во всех других случаях. Таким образом, спектр этих сигналов представляется вертикальной линией с высотой A и частотой ω_0 . Учитывая, что преобразование Фурье имеет линейный характер, то для периодических сигналов, представленных набором гармоник, мы будем иметь хорошо известный линейный спектр.

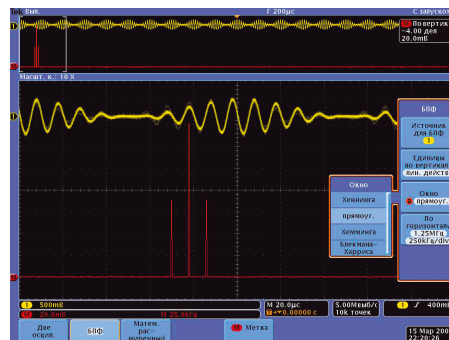


Рис. 1. Пример наблюдения спектра АМ-сигнала с применением временного и частотного окон с помощью осциллографа DPO4101

Увы, но преобразование (4) является теоретической абстракцией, даже если предположить, что сигнал был определен вплоть до текущего момента t . В связи с этим было введено понятие текущего частотного спектра, у которого верхний предел в (4) заменяется значением τ в определенный момент времени:

$$S(\omega) = \int_{-\infty}^{\tau} f(t) e^{-i\omega t} dt. \quad (5)$$

Здесь мы перешли от функции $F(\omega)$ к функции $S(\omega)$, которая представляет спектральную плотность сигнала. Заметим, что часто анализаторы спектра выводят спектр мощности, т.е. величину $S^2(\omega)$, причем с частотой, которая зада-

ется в линейном или логарифмическом масштабе. Выражение (5) нетрудно представить в виде:

$$S(\omega) = |S(\omega)| \cdot e^{j\varphi(\omega)t}, \quad (6)$$

где модуль спектральной плотности на частоте ω и аргумент (фаза):

$$|S(\omega)| = \sqrt{S^2(\omega)_{\sin} + S^2(\omega)_{\cos}},$$

$$\varphi(\omega) = \arctan \frac{S(\omega)_{\sin}}{S(\omega)_{\cos}}. \quad (7)$$

Здесь синусная и косинусная составляющие спектральной плотности и фазы определяются выражениями:

$$S(\omega)_{\sin} = \int_{-\infty}^{\tau} f(t) \sin(\omega t) dt \text{ и}$$

$$S(\omega)_{\cos} = \int_{-\infty}^{\tau} f(t) \cos(\omega t) dt. \quad (8)$$

Было доказано, что если спектр определен на конечном интервале времени T , то остаются справедливыми формулы, полученные из предположения периодичности сигнала. Следовательно, любой детерминированный сигнал, определенный на отрезке времени T его повторения можно разложить на конечное число гармоник. Разумеется, чем оно больше, тем выше точность спектрального анализа и последующего синтеза сигнала.

Обратное преобразование Фурье задается следующим образом:

$$f(t) = \frac{1}{2\pi} \int_{-\infty}^{\infty} F(\omega) e^{j\omega t} d\omega. \quad (9)$$

Эта формула позволяет по функции $F(\omega)$ найти в аналитическом виде функцию $f(t)$. Таким образом, осуществляется синтез сигнала и его восстановление во временной области. Фурье-анализ и синтез десятилетиями лежали в основе радиотехники и связи.

На практике ряды Фурье с бесконечным числом членов неприменимы, поскольку при вычислениях требуют бесконечно большого времени. Поэтому приходится ограничиваться конечным числом членов ряда. К сожалению, при ограничении спектра конечным числом гармоник наблюдаются характерные волнообразные колебания синтезированных сигналов, особенно заметные в области разрывов. Этот эффект получил название эффекта Гиббса. Математически он является следствием плохого сходжения тригонометрического ряда Фурье.

Эффект Гиббса особенно сильно проявляется в случае вырезания сигнала прямоугольным окном, когда конечный отсчет сигнала не совпадает с начальным отсчетом.

Для преодоления проблемы разрывов сигнала в начале и конце кадра отсчетов при прямом оконном преобразовании Фурье используются временные окна с плавным спадом по обе стороны от центра, например косинусоидальные:

$$W_i = \sum_{m=0}^{M-1} a_m \cos\left(\frac{2\pi i}{N} m\right), \quad (10)$$

где $0 \leq i \leq N$. Здесь $M=3$ максимальное количество слагаемых, a_m — коэффициенты косинусных членов, i — текущий индекс.

Параметры ряда окон этого семейства даны в таблице 1.

Таблица 1
ПАРАМЕТРЫ НЕКОТОРЫХ ОКОН СЕМЕЙСТВА (10)

Тип окна	a0	a1	A
Прямоугольное	1	0	0
Хэннинга	0,5	-0,5	0
Хэмминга	0,54	-0,46	0
С плоской вершиной	0,281	-0,521	0,198
Блэкмана-Харриса	0,423	-0,497	0,079

Уровень ослабления боковых лепестков в спектре прямоугольного окна составляет всего -13 дБ. Для сравнения отметим, что у широко применяемых окон Хэмминга и Хэннинга он составляет -43 и -32 дБ. Недавно предложенное окно Блэкмана-Харриса имеет уникально низкий уровень боковых лепестков — их ослабление составляет -92 дБ. При использовании окон в частотной области они определяют вид пиков, отображающих гармоники при спектральном анализе периодических сигналов.

Описанные методы уже широко применяются на практике с современных цифровых осциллографов — как бюджетных, так и высшего класса, например в анализаторах сигналов реального времени. На рис. 1 показано применение цифрового осциллографа Tektronix DPO4104 закрытой архитектуры в качестве анализатора спектра амплитудно-модулированного сигнала. Средство Wave Inspector задает временное окно (рис. 5 сверху в белых квадратных скобках), задающее вырезку сигнала, а спектр (рис. 5 снизу) строится с применением частотного окна. Его можно выбрать из списка окон.

Цифровые осциллографы в роли анализаторов спектра легко справляются с построением спектров видеосигналов, например, импульсов. Однако их «ахиллесовой пятой» являются узкополосные сигналы, например, радиочастотные. Получение спектров, подобных показанному на рис. 5 спектру АМ-сигнала, скорее является исключением, чем правилом. Тут спектр близок теоретическому (три вертикальных отрезка с частотами несущего

колебания и двух боковых частот) из-за умеренного значения несущей частоты и высокого значения модулирующей частоты — 100 и 10 кГц, соответственно. Разрешение спектрального анализа можно увеличить применяя память на большое число отсчетов.

Для анализа радиочастотных сигналов разработано множество анализаторов спектра радиочастот [3, 4]. Одними из лучших являются анализаторы спектра реального времени, выпускаемые фирмой Tektronix. В этих приборах анализируемая частотная область сигнала переносится в область промежуточной частоты (ПЧ) и аналого-цифровое преобразование выполняется в области ПЧ с помощью специально разработанного высокоскоростного АЦП и блока цифровой обработки сигнала ЦОС с блоком памяти. В полной мере реализованы и программные средства компьютерной математики, реализующие метод скользящего оконного преобразования, позволяющий строить спектрограммы в плоскости частота-время с отображением интенсивности частотных составляющих в виде цвета (рис. 2).

Стоит отметить принципиальные ограничения базисных функций синуса и косинуса рядов Фурье — они непрерывны, не способны принципиально описать скачки сигнала, определенные в бесконечном времени как вперед, так и назад, дают медленно сходящиеся ряды и не позволяют корректно представлять нестационарные сигналы, параметры которых меняются во времени. К примеру, спектры сигнала,

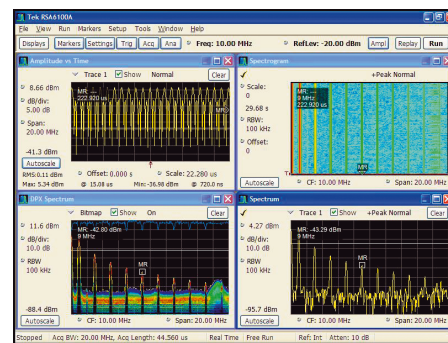


Рис. 2. Вид экрана цифрового анализатора спектра реального времени Tektronix RSA6100

являющегося наложением синусоид из нескольких частот и сигнала, представленного в виде временной последовательности из этих синусоид (без их наложения), выглядят одинаково, хотя это совсем разные сигналы. По спектру сигнала с особенностями нельзя определить положение особенностей во времени, хотя оконное преобразование Фурье частично эту задачу решает — с разрешением в пределах размера временного окна. Но, в пределах окна все принципиальные недостатки Фурье-преобразования сохраняют свою силу.

В связи с этим в последние два десятилетия возникла и развивается новая область представления произвольных сигналов с помощью вейвлетов — коротких «волночек», или «всплесков», масштабируемых и перемещаемых по оси времени [2]:

$$s(t) = \sum_k C_k(a, b) \psi_k(t, a, b), \quad (11)$$

где параметр a задает ширину вейвлета, b — его положение. Их набор позволяет осуществить вейвлет-синтез сигналов, как идеально точный, так и приближенный. В последнем случае осуществляет вейвлет-фильтрация сигнала и его сжатие.

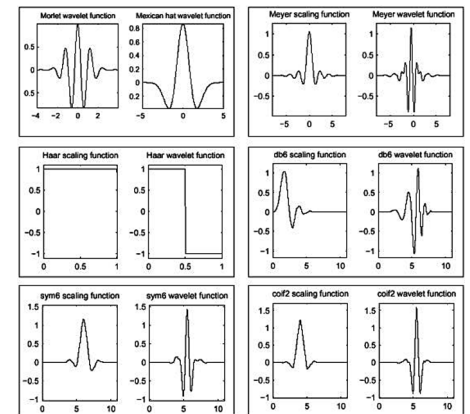


Рис. 3. Некоторые типы вейвлетов

В основе вейвлет-преобразования лежит использование двух непрерывных и интегрируемых по всей оси t (или x) функций:

- вейвлет-функция ψ $\int_{-\infty}^{\infty} \psi(t) dt = 0$,
- масштабирующая или скейлинг-функция φ $\int_{-\infty}^{\infty} \varphi(t) dt = 1$.

Phi-функции, задающие грубое приближение (аппроксимацию) сигнала, присущи только ортогональным вейвлетам. А детализирующие psi-функции создаются на основе той или иной базисной функции $\psi_0(t)$, которая и определяет тип вейвлета. Psi-функция должна иметь свойства смещения во времени и масштабирования:

$$\psi(t, a, b) \equiv \psi(a, b, t) = a^{-1/2} \psi_0\left(\frac{t-b}{a}\right). \quad (12)$$

В настоящее время известны многие типы вейвлетов. Лишь один из них — мексиканская шляпа имеет аналитическое представление для детализирующей и аппроксимирующей функций. Большинство же вейвлетов задается итерационными выражениями, причем число итераций определяет порядок вейвлета. Самыми известными являются ортогональные вейвлеты Добеши, вейвлеты Мейера, Хаара и др. (рис. 3).

Прямое непрерывное вейвлет-пре-

образование сигнала $s(t)$ задается вычислением вейвлет-коэффициентов по формуле:

$$C(a,b) = \langle s(t), \psi(a,b,t) \rangle = \int_{-\infty}^{\infty} s(t) a^{-1/2} \psi\left(\frac{t-b}{a}\right) dt. \quad (13)$$

С учетом обычно ограниченной области определения сигналов и $a, b \in \mathbb{R}, a \neq 0$ (24) можно представить в виде:

$$C(a,b) = \int_{\mathbb{R}} s(t) a^{-1/2} \psi\left(\frac{t-b}{a}\right) dt. \quad (14)$$

Обратное непрерывное вейвлет-преобразование осуществляется по формуле реконструкции во временной области:

$$f = C_{\psi}^{-1} \int_{-\infty}^{\infty} \int_{-\infty}^{\infty} \frac{dadb}{a^2} \langle f, \psi^{a,b} \rangle \psi^{a,b}, \quad (15)$$

В пакете расширения СКМ MATLAB — Wavelet Toolbox используется следующая формула реконструкции сигнала:

$$s(t) = \frac{1}{K_{\psi}} \int_{\mathbb{R}^+} \int_{\mathbb{R}} C(a,b) a^{-1/2} \psi\left(\frac{t-b}{a}\right) \frac{dadb}{a^2}, \quad (16)$$

где K_{ψ} — константа, определяемая функцией ψ .

Если a и b задавать дискретно, что обычно и делается, то можно реализовать дискретное кратномасштабное вейвлет-преобразование. Чаще всего кратность берется равной 2^L , что соответствует диадическому вейвлет-преобразованию, где целое L есть уровень преобразования, задающий разрешение. Доказано, что вейвлет-коэффициенты при таком преобразовании подобны коэффициентам НЧ и ВЧ фильтров. Поэтому широко распространены вейвлет-преобразования, построенные на основе применения частотных фильтров.

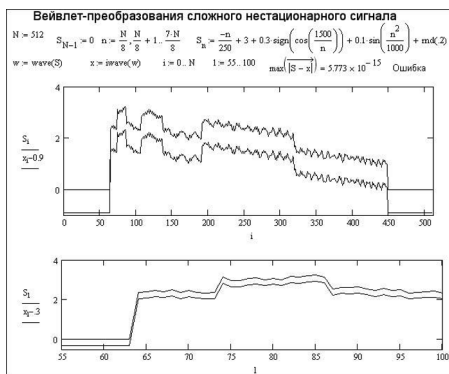


Рис. 4. Пример вейвлет-разложения и реконструкции сложного сигнала

Средства вейвлет-преобразований пока не используются в серийных цифровых осциллографов и анализаторах спектров. Но они уже представлены в ряде пакетов расширений по вейвлетам СКМ Mathcad, Mathematica и MATLAB. При установке этих систем в приборы открытой архитектуры эти средства уже можно полноценно использовать в практике исследований и измерений. Это возможно также при стыковке измерительных приборов с

закрытой архитектурой с ПК, на которых установлены СКМ.

Вейвлет-преобразования наиболее эффективны при решении следующих наиболее типовых задач:

- построение вейвлет-спектрограмм и анализ тонких особенностей сигналов;
- фильтрация сигнала путем ограничения числа используемых вейвлет-коэффициентов;
- очистка и сглаживание сигналов (в том числе нестационарных) и изображений от шума и помех;
- компрессия (сжатие) сигналов с малыми их искажениями;
- интерполяция, экстраполяция и аппроксимация сигналов;

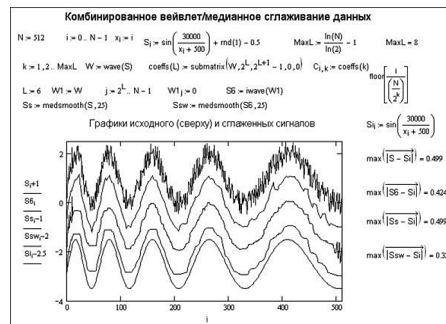


Рис. 5. Пример комбинированного вейвлет-медианного сглаживания и очистки сигнала от шума

Элементарную технику вейвлет-преобразований демонстрирует рис. 4. Здесь моделируется сложный сигнал с шумом — верхний график первого рисунка. С помощью встроенной в ядро Mathcad функции прямого вейвлет-преобразования wave этот сигнал превращается в набор вейвлет-коэффициентов. После этого функция обратного преобразования iwave восстанавливает сигнал с исчезающе малой ошибкой около $5,8 \cdot 10^{-15}$. В результате график восстановленного сигнала (нижний) невозможно отличить от исходного. На нижнем рисунке это же показано для уменьшенного фрагмента сигнала.

Пример комбинированного вейвлет-медианного сглаживания нестационарного сигнала показан на рис. 5. Степень сглаживания определяется уровнем L .

Вейвлет-спектрограмма строится в плоскости время (или номер дискретного отсчета) — номера вейвлет-коэффициентов, а уровень вейвлет-коэффициентов задается яркостью (цветом). Это делает вейвлет-спектрограммы похожими на спектрограммы анализаторов спектра реального времени. Особенно детальными получаются вейвлет-спектрограммы при непрерывном прямом вейвлет-преобразовании. Пример такой спектрограммы показан на рис. 6 (получена в СКМ MATLAB). Спектрограмма показана под графиком нестационарного сигнала, содержащего последовательность из двух синусоид разной частоты. Она четко распознает обе частоты и отрезки времен их существования.

Пакет расширения Wavelet Toolbox системы MATLAB является одним из

самых мощных средств для работы с вейвлетами. Эта работа возможна как с помощью окон графического интерфейса пользователя GUI (пример рис. 6), так и из окна командного режима. Будучи установленный (вместе с базовой системой MATLAB) пакет может использоваться для обработки осциллограмм и спектров от современных цифровых измерительных приборов, расширяя области их применения.

Возможность вейвлет-спектрограмм в обнаружении локальных особенностей сигналов поразительна. При Фурье-анализе чем короче особенность сигнала, тем хуже она обнаруживается. Это связано с тем, что короткие особенности дают широкий и расплывчатый спектр, который размывается по всей частотной оси и маскируется спектром шумов. При вейвлет спектральном анализе все происходит совсем иначе — чем короче особенность и чем выше ее изменение во времени, тем ярче она выделяется на спектрограмме. Происходит своеобразная адаптация вейвлет-анализа к неоднородностям сигналов. Это видно из рис. 6, но мы приведем еще более наглядные примеры.

Ниже представлена небольшая программа на языке MATLAB, которая моделирует нестационарный сигнал в виде синусоиды, на которую наложен меандр с переменной частотой:

```
t = linspace(-6,6,2048);
s = sin(t)+0.1.*sign(sin((t-7).^2./3));
subplot(2,1,1)
plot(t,s); title('function s(t)')
subplot(2,1,2)
c = cwt(s,1:2:256,'sym4','abs|v|',[100 400]);
title('wavelet spectr')
```

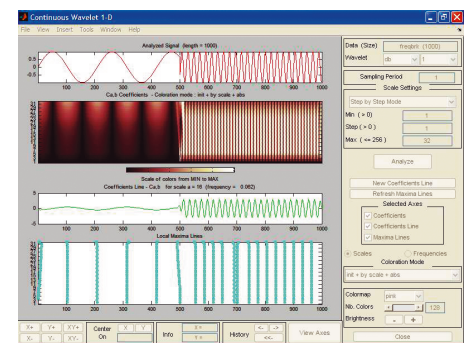


Рис. 6. Вейвлет-спектрограмма двухчастотного сигнала полученная в окне GUI системы MATLAB

Затем программа строит график сигнала и проводит непрерывное вейвлет-преобразование с помощью функции cwt с построением спектрограммы (рис. 7). Хотя амплитуда меандра составляет всего 0,1 от амплитуды синусоиды, спектрограмма отчетливо выявляет меандр и четко фиксирует как его особенности (перепады), так и особенности синусоиды (экстремумы и переходы через 0).

А теперь исполним «смертельный номер» — уменьшим амплитуду меандра до 0,001 от амплитуды синусоиды. Для этого множитель 0,1 во второй строке приведенной программы изме-

НОВОСТИ на www.kipis.ru

НОВАЯ ВЕРСИЯ ПРОГРАММНОГО ПАКЕТА SIGNALMEISTER

Компания **Keithley** выпустила новую версию программного пакета для анализа и создания сигналов *SignalMeister 290101 v3.0*. Данный пакет предназначен для использования в векторных генераторах Keithley серии 2900, векторных анализаторах серии 2800, а также MIMO системах. SignalMeister позволяет инженерам создавать и проводить анализ смешанных сигналов, используя наиболее широко применяемые протоколы беспроводных передач данных, таких как WiMax 802.16e и WLaN 802.11n. Еще одной отличительной особенностью данного пакета является широкий выбор дополнительных библиотек, предназначенных для работы с системами мобильной связи 3GPP и 3GPP2 стандартов (WCDMA, HSDPA, HSUPA, cdmaOne, cdma2000, 1xEV-DV), а также беспроводной связи (802.11a-b-g-j-n WLAN, 802.16e-2005 mobile WiMax, 802.16e Wave 2 WiMax).



Кроме того, SignalMeister 290101 позволяет моделировать неидеальные условия передающей линии и реальные условия в канале, например, такие, как шум или затухание. Заметим, что формы сигналов, а также описание их параметров могут легко создаваться, благодаря интуитивно понятному объектно-ориентированному графическому интерфейсу с использованием иконок (блок-схем).

Как уже упоминалось выше, SignalMeister позволяет работать не только с SISO сигналами, но и создавать и анализировать потоки сигналов с синхронизацией работы всего программного обеспечения в MIMO системах (от 2x2 до 8x8).

Данный пакет может работать как под Windows XP, так и под Windows Vista.

Программный пакет для анализа и создания сигналов SignalMeister 290101 v3.0 может найти широкое применение в НИКОР, тестировании и верификации ВЧ продукции, тестировании мобильных терминалов и базовых станций, устройств создания радиопомех и образовательных целях.

www.keithley.com

ним на 0,001. Запустив программу снова, получим результат, представленный на рис. 8. Нетрудно заметить, что на уровне вейвлет-коэффициентов с малыми номерами наличие меандра выявляется очень четко, хотя на временной зависимости нет даже малейшего намека на эту малую составляющую сигнала. Надо ли говорить, что такая особенность вейвлет-анализа и построения

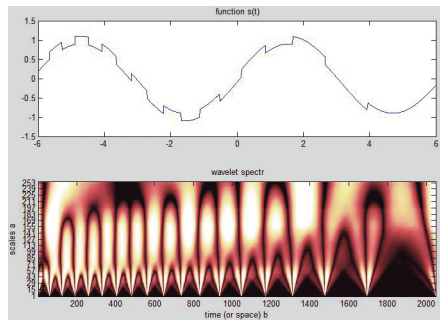


Рис. 7. Построение вейвлет-спектрограммы синусоиды с наложенным на нее меандром с переменной частотой и амплитудой, равной 0,1 от амплитуды синусоиды

вейвлет-спектра открывает широчайшие возможности в детальном анализе различных сигналов, выявлении помех и следов переходных процессов в электрических сетях, анализе импульсных процессов в эфире и т.д.

С помощью пакета расширения Simulink в MATLAB возможно блочное имитационное моделирование устройств и систем, в том числе реализующих вейвлет-технологии обработки сигналов. Пример этого представлен на рис. 9.

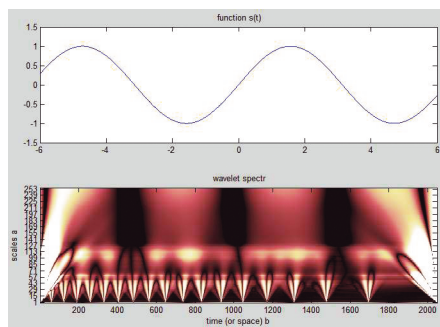


Рис. 8. Построение вейвлет-спектрограммы синусоиды с наложенным на нее меандром с переменной частотой и амплитудой, равной 0,001 от амплитуды синусоиды

В этом примере смоделировано устройство, обеспечивающее на основе кратномасштабного вейвлет-преобразования вначале анализ, а затем синтез сложного нестационарного сигнала в виде зашумленной синусоиды с изменяемой во времени амплитудой и частотой. Фильтрация сигнала обеспечивается адаптивным ограничением числа вейвлет-коэффициентов. Таким же образом осуществляется сжатие сигналов и изображений.

С помощью вейвлет-преобразования можно не только очищать сигналы от шумов и помех, но и выделять последние. Нередко возможна ситуация,

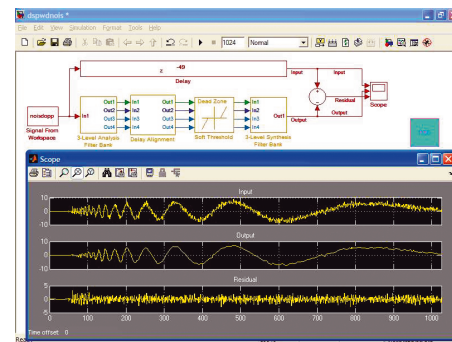


Рис. 9. Модель устройства для очистки от шума сложного нестационарного сигнала

когда именно малые шумоподобные сигналы, замаскированные большими сигналами, представляют интерес для исследования и применения. Такая ситуация встречается, к примеру, в случае использования промышленной сети переменного тока для передачи информационных и измерительных сигналов.

Завершая статью можно отметить, что техника вейвлет-преобразований находится в начальной стадии ее внедрения в измерительную технику. Но близится время, когда появятся серийные вейвлет-осциллографы, вейвлет-спектрометры и другие приборы на основе вейвлет-преобразований. А пока вейвлет-обработка сигналов вполне возможна при стыковке серийных цифровых приборов с компьютерами, на которые установлены системы компьютерной математики с пакетами расширения по вейвлетам.

ЛИТЕРАТУРА

1. Дьяконов В. П. Компьютерная математика. Теория и практика. М.: Нолидж, 2001, с. 1396.
2. Афонский А. А., Дьяконов В. П. Измерительные приборы и массовые электронные измерения. М.: СОЛОН-Пресс, 2007, с. 544.
3. Афонский А. А., Дьяконов В. П. Цифровые анализаторы спектра, сигналов и логики. М.: СОЛОН-Пресс, 2004, с. 249.
4. Афонский А. А. Новые анализаторы спектра реального времени среднего уровня позволяют отображать РЧ сигналы в реальном времени. Контрольно-измерительные приборы и системы, № 2 апрель, 2008, с. 19.
5. Дьяконов В. П. Вейвлеты. От теории к практике. Изд-е 2-ое переработанное и дополненное. М.: СОЛОН-Пресс, 2004, с. 400.
6. Дьяконов В. П. MATLAB 6.5 SP1/7.0 + Simulink 5/6. Обработка сигналов и проектирование фильтров. М.: СОЛОН-Пресс, 2005, с. 576.

Modern methods of the Fourier- and wavelet-analysis of signals researched with the help of digital oscilloscopes and spectrum analyzers are described in this article and reasons about ways of their development are stated.